

## 角果木的 dolabrate 型二萜类化合物研究

刘喜萍, 申丽, 吴军\*

暨南大学药学院 海洋药物研究中心, 广东 广州 510632

**摘要:** 目的 研究海南红树植物角果木 *Ceriops tagal* 二萜类化学成分。方法 利用 HP20 大孔树脂柱色谱和正、反相硅胶柱色谱以及高效液相色谱等手段进行分离制备, 并根据化合物的理化性质和波谱数据鉴定化合物结构。结果 从角果木醋酸乙酯萃取部位中共分离得到 11 个 dolabrate 型二萜类化合物, 分别鉴定为  $(5S^*, 8S^*, 9S^*, 10R^*)$ -13 $S^*$ , 18-dihydroxy-15, 16-dinordolab-4(18)-ene-3-one (1)、 $(5S^*, 8S^*, 9S^*, 10R^*, 13S^*)$ -3, 16-dihydroxydolab-3-ene-2-one (2)、tagalsin S (3)、*ent*-5 $\alpha$ , 2, 15-dioxodolab-3-ene-3, 16-diol (4)、*ent*-16-nor-5 $\alpha$ , 2-oxodolab-3-ene-3-ol-15-oic acid (5)、tagalsin P (6)、*ent*-5 $\alpha$ , 3, 15-dioxodolab-1, 4(18)-diene-2, 16-diol (7)、*ent*-16-nor-3-oxodolab-1, 4(18)-diene-2-ol-15-oic acid (8)、tagalsin W (9)、tagalsin V (10)、tagalsin Q (11)。结论 化合物 1 和 2 为新化合物, 分别命名为角果木二萜 A 和角果木二萜 B。

**关键词:** 红树植物; 角果木; 二萜; dolabrate 型二萜; 角果木二萜 A; 角果木二萜 B

**中图分类号:** R284.1      **文献标志码:** A      **文章编号:** 0253 - 2670(2016)13 - 2226 - 06

**DOI:** 10.7501/j.issn.0253-2670.2016.13.004

## Dolabrate-type diterpenoids from Hainan mangrove, *Ceriops tagal*

LIU Xi-ping, SHEN Li, WU Jun

Marine Drugs Research Center, College of Pharmacy, Jinan University, Guangzhou 510632, China

**Abstract: Objective** To investigate diterpenoids of *Ceriops tagal*, from Hainan mangrove. **Methods** Eleven dolabrate-type diterpenoids were obtained by HP20 macroporous resin, silica gel, and RP C<sub>18</sub> column chromatography and HPLC preparation. The structures of these compounds were elucidated on the basis of physicochemical properties and spectroscopic data. **Results** The eleven dolabrates were obtained from the ethyl acetate extraction from the aerial part of *C. tagal*. These compounds were identified as  $(5S^*, 8S^*, 9S^*, 10R^*)$ -13 $S^*$ , 18-dihydroxy-15, 16-dinordolab-4(18)-ene-3-one (1),  $(5S^*, 8S^*, 9S^*, 10R^*, 13S^*)$ -3, 16-dihydroxydolab-3-ene-2-one (2), tagalsin S (3), *ent*-5 $\alpha$ , 2, 15-dioxodolab-3-ene-3, 16-diol (4), *ent*-16-nor-5 $\alpha$ , 2-oxodolab-3-ene-3-ol-15-oic acid (5), tagalsin P (6), *ent*-5 $\alpha$ , 3, 15-dioxodolab-1, 4(18)-diene-2, 16-diol (7), *ent*-16-nor-3-oxodolab-1, 4(18)-diene-2-ol-15-oic acid (8), tagalsin W (9), tagalsin V (10), and tagalsin Q (11). **Conclusion** Compounds 1 and 2 are new compounds named as tagalditerpene A and tagalditerpene B.

**Key words:** mangrove; *Ceriops tagal* (Perr.) C. B. Robinson; diterpenoids; dolabrate-type diterpenoids; tagalditerpene A; tagalditerpene B

角果木 *Ceriops tagal* (Perr.) C. B. Robinson 是红树科 (Rhizophoraceae) 角果木属 *Ceriops* Arn. 常绿植物。该属共有 5 个物种, 包括角果木、十雄角果木 *C. decandra* (Griff.) Ding Hou、澳洲角果木 *C. australis* (White) Ballment, Smith & Stoddart、*C. zippeliana* Blume 和 *C. pseudodecandra* Sheue, Liu, Tsai & Yang<sup>[1-3]</sup>。角果木广泛分布于热带、亚热带海岸潮间带, 在中国主要集中分布在海南<sup>[4-6]</sup>。中国民间曾用角果木叶子的煎煮汤汁来治疗疟疾, 而在印

度, 角果木的树皮则用来治疗慢性出血及恶性溃疡<sup>[7]</sup>。此外, 据文献报道该植物的粗提物具有治疗肝炎及糖尿病的活性<sup>[8]</sup>。

二萜和三萜类化合物是角果木的主要次生代谢产物<sup>[1]</sup>。至今, 已经从角果木中分离得到 34 个二萜, 包括 29 个 dolabrates, 4 个海松烷和 1 个松香烷。其中, dolabrate 型二萜是该属植物的主要二萜类型。据文献报道, dolabrate 型二萜及其衍生物具有多种药理活性, 尤其是拒食和抗肿瘤活性<sup>[9-11]</sup>。为

收稿日期: 2016-03-13

基金项目: 国家自然科学基金资助项目 (U1501221)

作者简介: 刘喜萍, 女, 硕士研究生在读, 研究方向为天然产物化学。Tel: 15521329740 E-mail: xipingliu2013@163.com

\*通信作者 吴军, 男, 博士, 教授, 研究方向为天然产物化学。E-mail: wwwujun68@163.com

了进一步研究角果木的化学成分与药用价值,本实验从海南红树角果木地上部分中分离鉴定了11个dolabrate型二萜,分别为 $(5S^*,8S^*,9S^*,10R^*)$ -13S<sup>\*</sup>,18-dihydroxy-15,16-dinordolabrate-4(18)-ene-3-one(**1**)、 $(5S^*,8S^*,9S^*,10R^*,13S^*)$ -3,16-dihydroxydolabrate-3-ene-2-one(**2**)、tagalsin S(**3**)、*ent*-5 $\alpha$ ,2,15-dioxodolabrate-3-ene-3,16-diol(**4**)、*ent*-16-nor-5 $\alpha$ ,2-oxodolabrate-3-ene-3-ol-15-oic acid(**5**)、tagalsin P(**6**)、*ent*-5 $\alpha$ ,3,15-dioxodolabrate-1,4(18)-diene-2,16-diol(**7**)、*ent*-16-nor-3-oxodolabrate-1,4(18)-diene-2-ol-15-oic acid(**8**)、tagalsin W(**9**)、tagalsin V(**10**)、tagalsin Q(**11**),化合物**1~11**的结构见图1。其中化合物**1**和**2**为

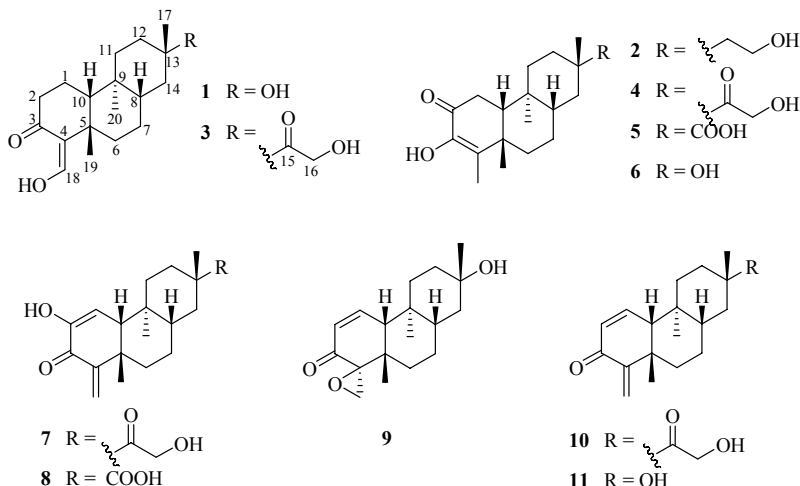


图1 化合物**1~11**的结构

Fig. 1 Structures of compound 1—11

新化合物,分别命名为角果木二萜A和角果木二萜B。

## 1 仪器与材料

高效液相色谱仪(美国 Waters 公司)Waters 2695Q、2535Q 型泵和 2998 二极管阵列检测器。AVANCE III 400 型核磁共振波谱仪(瑞士 Bruker 公司), Ama Zon SL 离子阱电喷雾质谱仪(德国 Bruker Daltonics 公司), HP20 大孔吸附树脂(日本三菱化学), 正相硅胶(青岛海洋化工厂), C<sub>18</sub> 反相硅胶(日本 YMC 公司), YMC C<sub>18</sub> 色谱柱(250 mm×10 mm, 5 μm), 色谱纯乙腈、甲醇(德国 Merck 公司), 分析纯丙酮、氯仿、甲醇、醋酸乙酯均重蒸。

海南红树角果木的地上部分于 2011 年 11 月采集于中国海南红树林湿地。由暨南大学海洋药物研究中心吴军教授鉴定为角果木 *Ceriops tagal* (Perr.) C. B. Robinson。样品标本(CT-03)保存于暨南大学药学院海洋药物研究中心。

## 2 提取与分离

干燥的角果木地上部分(10 kg),粉碎后用 95% 乙醇室温提取 5 次(25 L/次),减压浓缩后用水混悬,醋酸乙酯萃取 5 次(10 L/次),减压浓缩得到醋酸乙酯萃取物 800 g。

醋酸乙酯萃取物经 HP20 大孔树脂柱色谱,乙

醇-水(40:60→95:5)梯度洗脱,共得到 120 个流分。利用薄层色谱和高效液相色谱分析后合并第 50~100 流分(28.4 g),经正相硅胶(100~200 目)柱色谱分离,氯仿-甲醇(100:0→5:1)梯度洗脱,共得到 98 个流分。再利用薄层色谱和高效液相色谱分析后合并第 3~7 流分(5.0 g),经反相硅胶柱色谱分离,丙酮-水(50:50→100:0)梯度洗脱,得到 46 个流分。

其中流分 6 经高效液相色谱制备得到化合物**7**(130.0 mg)和**9**(37.0 mg)。流分 9 和 10 经高效液相色谱制备得到化合物**11**(150.0 mg)和**6**(150.0 mg)。流分 11 和 12 重结晶得到化合物**4**(800.0 mg)。

流分 13~21 合并(1.0 g)后经反相硅胶柱色谱分离,甲醇-水(50:50→100:0)梯度洗脱,得到 66 个流分。其中流分 23、25、27、29、30、31 经高效液相色谱制备分别得到化合物**10**(6.5 mg)、**8**(2.0 mg)、**5**(8.0 mg)、**1**(3.5 mg)、**3**(12.0 mg)和**2**(4.6 mg)。

## 3 结构鉴定

化合物**1**:透明油状物。 $[\alpha]_D^{25} +1.7^\circ$ (*c* 0.26, 丙酮)。UV(乙腈) $\lambda_{max}$ (log $\epsilon$ ): 290 nm(3.44)。根据 HR-ESI-MS *m/z*: 293.211 2 [M+H]<sup>+</sup>(计算值为

293.211 1) 确定其分子式为  $C_{18}H_{28}O_3$ , 不饱和度为 5。其 NMR 数据(表 1)表明其中 2 个不饱和度分别来源于 1 个酮羰基 ( $\delta_C$  199.7, qC) 和 1 个双键 ( $\delta_C$  171.4, CH; 116.8, qC), 因此该化合物的结构中应有 3 个环系。根据 DEPT135 谱可知该化合物含有 3 个甲基、7 个亚甲基、3 个次甲基(其中 1 个为烯碳次甲基, 且与氧相连,  $\delta_C$  171.4)和 5 个季碳(包括 1 个酮羰基碳  $\delta_C$  199.7、1 个烯碳季碳  $\delta_C$  116.8、1 个连氧季碳  $\delta_C$  71.4)。根据以上信息以及生源可以初步判断化合物 1 是 1 个 dolabrone 型二萜。经与 tagalsin S (3) 的 NMR 数据对比, 发现它们为类似

物。两者的区别在于 C-13 位的取代基。Tagalsin S 的 C-13 位 ( $\delta_C$  45.6) 为羟乙酰基 ( $\delta_H$  4.37, s, H<sub>2</sub>-16;  $\delta_C$  215.3, qC, C-15; 64.0, CH<sub>2</sub>, C-16) 取代, 而化合物 1 的谱图中缺少该取代基信号, 取而代之的是 1 个连氧季碳 ( $\delta_C$  71.4) 信号。基于 H<sub>3</sub>-17 ( $\delta_H$  1.25, s) 与此碳的 HMBC 相关可以确定此季碳为 C-13(图 2)。根据分子式及化学位移可判断有 1 个羟基取代在 C-13 位。该化合物的相对构型通过 NOE 谱(图 3)来确定, 如 H-10/H<sub>3</sub>-19、H-10/H-8、H-10/H-11 $\beta$ 、H-11 $\beta$ /17-CH<sub>3</sub>之间的 NOE 相关表明 17-CH<sub>3</sub>、H-8、19-CH<sub>3</sub>、H-10 为  $\beta$  构型; 而 H-6 $\alpha$ /20-CH<sub>3</sub>相关则表

表 1 化合物 1 和 2 的  $^1H$ -NMR (400 MHz, CDCl<sub>3</sub>) 和  $^{13}C$ -NMR (100 MHz, CDCl<sub>3</sub>) 数据  
Table 1  $^1H$ -NMR (400 MHz, CDCl<sub>3</sub>) and  $^{13}C$ -NMR (100 MHz, CDCl<sub>3</sub>) data for compounds 1 and 2

碳位	1		2	
	$\delta_H$	$\delta_C$	$\delta_H$	$\delta_C$
1	1.97 (m, H- $\alpha$ ) 2.11 (m, H- $\beta$ )	16.6, CH <sub>2</sub>	2.71 (d, $J$ = 18.3 Hz, H- $\alpha$ ) 2.82 (dd, $J$ = 18.3, 6.4 Hz, H- $\beta$ )	33.3, CH <sub>2</sub>
2	2.49 (m)	31.6, CH <sub>2</sub>		193.3, qC
3		199.7, qC		144.6, qC
4		116.8, qC		135.8, qC
5		36.3, qC		39.1, qC
6	2.15 (m, H- $\alpha$ ) 1.41 (m, H- $\beta$ )	36.9, CH <sub>2</sub>	2.14 (dt, $J$ = 14.1, 3.1 Hz, H- $\alpha$ ) 1.26 (m, H- $\beta$ )	38.1, CH <sub>2</sub>
7	1.27 (m, H- $\alpha$ ) 1.17 (m, H- $\beta$ )	25.5, CH <sub>2</sub>	1.11 (m, H- $\alpha$ )	26.9, CH <sub>2</sub>
8	1.26 (m)	45.4, CH	1.33 (m)	41.7, CH
9		37.8, qC		38.3, qC
10	1.21 (m)	51.9, CH	1.63 (dt, $J$ = 6.5 Hz)	54.6, CH
11	1.76 (dt, $J$ = 13.4, 4.0 Hz, H- $\alpha$ ) 0.98 (ddd, $J$ = 13.5, 4.2, 4.2 Hz, H- $\beta$ )	37.6, CH <sub>2</sub>	1.59 (m, H- $\alpha$ ) 1.04 (m, H- $\beta$ )	34.3, CH <sub>2</sub>
12	1.65 (ddd, $J$ = 13.5, 4.3, 4.4 Hz, H- $\alpha$ ) 1.54 (m, H- $\beta$ )	35.8, CH <sub>2</sub>	1.41 (ddd, $J$ = 13.9, 4.3, 4.4 Hz, H- $\alpha$ ) 1.19 (m, H- $\beta$ )	33.0, CH <sub>2</sub>
13		71.4, qC		32.6, qC
14	1.48 (m, H- $\alpha$ ) 1.30 (dt, $J$ = 13.5, 3.5 Hz, H- $\beta$ )	42.8, CH <sub>2</sub>	1.01 (m, H- $\alpha$ ) 1.21 (m, H- $\beta$ )	40.3, CH <sub>2</sub>
15			1.48 (m)	48.9, CH <sub>2</sub>
16			3.71 (t, $J$ = 7.5 Hz)	59.4, CH <sub>2</sub>
17	1.25 (s)	27.0, CH <sub>3</sub>	0.94 (s)	23.5, CH <sub>3</sub>
18	7.93 (d, $J$ = 7.8 Hz)	171.4, CH	1.86 (s)	11.8, CH <sub>3</sub>
19	1.15 (s)	35.9, CH <sub>3</sub>	1.22 (s)	31.8, CH <sub>3</sub>
20	0.76 (s)	13.1, CH <sub>3</sub>	0.59 (s)	13.9, CH <sub>3</sub>
-OH	15.43 (d, $J$ = 7.7 Hz)		6.10 (brs)	

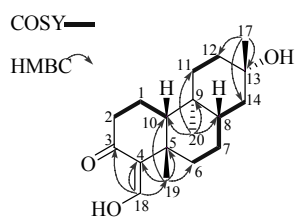
图 2 化合物 1 的主要  $^1\text{H}$ - $^1\text{H}$  COSY 和 HMBC 相关

Fig. 2 Key  $^1\text{H}$ - $^1\text{H}$  COSY and HMBC correlation of compound 1

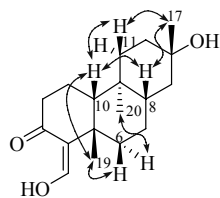


图 3 化合物 1 的主要 NOESY 相关

Fig. 3 Key NOESY correlation of compound 1

明 20-CH<sub>3</sub> 为  $\alpha$  构型。由于该化合物的圆二色谱(CD)强度较弱, 不能通过计算确定其绝对构型, 后期研究中希望可以获得合适的晶体进行单晶 X 射线衍射确定此化合物的绝对构型。由以上数据判断化合物 1 的结构为 ( $5S^*, 8S^*, 9S^*, 10R^*$ )-13 $S^*$ , 18-dihydroxy-15, 16-dinordolab-4(18)-ene-3-one, 为新化合物, 命名为角果木二萜 A。

**化合物 2:** 白色无定形粉末。 $[\alpha]_D^{25} +45.4^\circ$  ( $c 0.14$ , 丙酮)。UV (乙腈)  $\lambda_{\text{max}}$  (log $e$ ): 280 nm (3.57)。根据 HR-ESI-MS  $m/z$ : 321.242 9 [ $M + H$ ]<sup>+</sup> (计算值为 321.243 0), 得到其分子式为  $C_{20}H_{32}O_3$ , 不饱和度为 5; 再根据  $^{13}\text{C}$ -NMR 和 DEPT135 谱可知该化合物含有 4 个甲基、8 个亚甲基 (1 个与氧相连  $\delta_C$  59.4)、2 个次甲基和 6 个季碳 (包括 1 个酮羰基碳  $\delta_C$  193.3、2 个烯碳季碳  $\delta_C$  144.6, 135.8), 因此该化合物有 3 个环系; 最后根据生源推测化合物 2 是 1 个 dolabrene 型二萜。经过对比发现化合物 2 的 NMR 数据 (表 1) 与 tagalsin P (6) 类似, 不同的是化合物 2 较 6 多出 1 个羟乙基的信号 ( $\delta_H$  1.48, m, 2H; 3.71, t,  $J = 7.5$  Hz, 2H;  $\delta_C$  48.9, CH<sub>2</sub>; 59.4, CH<sub>2</sub>)。化合物 6 的 C-13 位为羟基取代, 化学位移  $\delta_C$  71.1, 而化合物 2 中 C-13 位化学位移为  $\delta_C$  32.6, 推测其被羟乙基取代。化合物 2 中 H<sub>2</sub>-15/C-13、H<sub>2</sub>-15/C-16、H<sub>3</sub>-17/C-15 的 HMBC 相关证实了该羟乙基取代在 C-13 位上。根据 NOE 谱确定了该化合物的相对立体构型与化合物 6 一致, 即 17-CH<sub>3</sub>、H-8、H-10、

19-CH<sub>3</sub> 同为  $\beta$  构型而 20-CH<sub>3</sub> 为  $\alpha$  构型。综上得出化合物 2 的结构为 ( $5S^*, 8S^*, 9S^*, 10R^*, 13S^*$ )-3, 16-dihydroxydolab-3-ene-2-one, 经各数据库检索确定其为新化合物, 命名为角果木二萜 B。

**化合物 3:** 白色固体。ESI-MS  $m/z$ : 357.19 [ $M + Na$ ]<sup>+</sup>, 691.36 [2M + Na]<sup>+</sup>, 分子式为  $C_{20}H_{30}O_4$ 。 $^1\text{H}$ -NMR (400 MHz, CDCl<sub>3</sub>)  $\delta$ : 15.42 (1H, d,  $J = 7.7$  Hz, H-18-OH), 7.93 (1H, d,  $J = 7.7$  Hz, H-18), 4.37 (2H, s, H-16), 2.48 (2H, m, H-2), 2.17 (1H, m, H-6 $\alpha$ ), 2.09 (1H, m, H-1 $\beta$ ), 1.97 (1H, m, H-1 $\alpha$ ), 1.22 (3H, s, H-17), 1.16 (3H, s, H-19), 0.71 (3H, s, H-20), 1.83 (1H, ddd,  $J = 13.9, 4.3, 3.0$  Hz, H-12 $\alpha$ ), 1.46 (1H, m, H-8), 1.73 (1H, dt,  $J = 13.5, 3.5$  Hz, H-11 $\alpha$ ), 1.59 (1H, m, H-14 $\alpha$ ), 1.40 (1H, m, H-12 $\beta$ ), 1.44 (1H, m, H-6 $\beta$ ), 1.29 (1H, m, H-7 $\alpha$ ), 1.25 (1H, m, H-14 $\beta$ ), 1.26 (1H, m, H-10), 1.12 (1H, m, H-7 $\beta$ );  $^{13}\text{C}$ -NMR (100 MHz, CDCl<sub>3</sub>)  $\delta$ : 16.2 (C-1), 31, 5 (C-2), 199.5 (C-3), 116.6 (C-4), 36.3 (C-5), 36.7 (C-6), 25.4 (C-7), 42.0 (C-8), 37.7 (C-9), 51.8 (C-10), 34.5 (C-11), 27.9 (C-12), 45.6 (C-13), 35.0 (C-14), 215.3 (C-15), 64.0 (C-16), 20.7 (C-17), 171.5 (C-18), 35.9 (C-19), 12.8 (C-20)。以上数据与文献报道一致<sup>[12]</sup>, 故鉴定化合物 3 为 ( $5S^*, 8S^*, 9S^*, 10R^*, 13S^*$ )-16, 18-dihydroxydolab-4(18)-ene-3, 15-dione, 俗名 tagalsin S。

**化合物 4:** 无色针状结晶 (丙酮)。ESI-MS  $m/z$ : 357.07 [ $M + Na$ ]<sup>+</sup>, 333.22 [ $M - H$ ]<sup>-</sup>, 分子式为  $C_{20}H_{30}O_4$ 。 $^1\text{H}$ -NMR (400 MHz, CDCl<sub>3</sub>)  $\delta$ : 4.37 (2H, s, H-16), 2.70 (1H, d,  $J = 18.6$  Hz, H-1 $\alpha$ ), 2.65 (1H, dd,  $J = 18.6, 6.5$  Hz, H-1 $\beta$ ), 2.18 (1H, dt,  $J = 14.2, 2.8$  Hz, H-6 $\alpha$ ), 1.87 (3H, s, H-18), 1.24 (3H, s, H-19), 1.21 (3H, s, H-17), 0.62 (3H, s, H-20), 1.80 (1H, ddd,  $J = 13.9, 4.4, 3.0$  Hz, H-11 $\alpha$ ), 1.65 (1H, d,  $J = 6.4$  Hz, H-10), 1.72 (1H, m, H-12 $\alpha$ ), 1.40 (1H, m, H-12 $\beta$ ), 1.39 (1H, m, H-8), 1.43 (1H, m, H-14 $\alpha$ ), 1.11 (1H, m, H-11 $\beta$ ), 1.18 (1H, m, H-7 $\alpha$ ), 1.16 (1H, m, H-14 $\beta$ ), 6.11 (1H, s, 3-OH);  $^{13}\text{C}$ -NMR (100 MHz, CDCl<sub>3</sub>)  $\delta$ : 33.3 (C-1), 192.9 (C-2), 144.7 (C-3), 135.4 (C-4), 39.1 (C-5), 37.9 (C-6), 26.6 (C-7), 41.0 (C-8), 38.0 (C-9), 54.3 (C-10), 35.0 (C-11), 27.8 (C-12), 45.4 (C-13), 33.4 (C-14), 215.2 (C-15), 64.0 (C-16), 20.8 (C-17), 11.8 (C-18), 31.8 (C-19), 13.7 (C-20)。以上数据与文献报道一致<sup>[13]</sup>, 故鉴定化合物 4 为 *ent*-5 $\alpha$ , 2, 15-dioxodolab-3-ene-3, 16-diol。

**化合物 5:** 淡黄色无定形粉末。ESI-MS  $m/z$ : 343.17 [M+Na]<sup>+</sup>, 663.33 [2M+Na]<sup>+</sup>, 分子式为 C<sub>19</sub>H<sub>28</sub>O<sub>4</sub>。<sup>1</sup>H-NMR (400 MHz, CDCl<sub>3</sub>)  $\delta$ : 2.70 (1H, d,  $J$ =18.6 Hz, H-1 $\alpha$ ), 2.84 (1H, dd,  $J$ =18.7, 6.5 Hz, H-1 $\beta$ ), 2.16 (1H, dt,  $J$ =14.0, 3.0 Hz, H-6 $\alpha$ ), 1.63 (1H, m, H-10), 1.86 (3H, s, H-18), 1.25 (3H, s, H-19), 1.22 (3H, s, H-17), 0.63 (3H, s, H-20), 1.90 (1H, ddd,  $J$ =14.1, 4.3, 3.0 Hz, H-12 $\alpha$ ), 1.67 (1H, m, H-11 $\alpha$ ), 1.71 (1H, m, H-14 $\alpha$ ), 1.47 (1H, m, H-12 $\beta$ ), 1.37 (1H, m, H-8), 1.30 (1H, m, H-14 $\beta$ ), 1.16 (1H, m, H-7 $\alpha$ ), 6.13 (1H, s, OH-3)。以上数据与文献报道一致<sup>[14]</sup>, 故鉴定化合物 5 为 *ent*-16-nor-5 $\alpha$ ,2-oxodolab-3-ene-3-ol-15-oic acid。

**化合物 6:** 白色无定形粉末。ESI-MS  $m/z$ : 315.12 [M+Na]<sup>+</sup>, 607.22 [2M+Na]<sup>+</sup>, 分子式为 C<sub>18</sub>H<sub>28</sub>O<sub>3</sub>。<sup>1</sup>H-NMR (400 MHz, CDCl<sub>3</sub>)  $\delta$ : 2.71 (1H, d,  $J$ =18.7 Hz, H-1 $\alpha$ ), 2.85 (1H, dd,  $J$ =18.7, 6.5 Hz, H-1 $\beta$ ), 2.16 (1H, dt,  $J$ =14.2, 2.8 Hz, H-6 $\alpha$ ), 1.63 (1H, m, H-10), 1.87 (3H, s, H-18), 1.76 (1H, dt,  $J$ =13.4, 3.7 Hz, H-11 $\alpha$ ), 1.26 (3H, s, H-19), 1.23 (3H, s, H-17), 0.67 (3H, s, H-20), 1.60 (1H, m, H-12 $\alpha$ ), 1.53 (1H, m, H-14 $\alpha$ ), 1.50 (1H, m, H-12 $\beta$ ), 1.31 (1H, m, H-8), 1.22 (1H, m, H-7 $\alpha$ ), 0.95 (1H, ddd,  $J$ =13.5, 4.3, 3.0 Hz, H-11 $\beta$ ), 6.11 (1H, s, 3-OH); <sup>13</sup>C-NMR (100 MHz, CDCl<sub>3</sub>)  $\delta$ : 33.5 (C-1), 192.9 (C-2), 144.5 (C-3), 135.4 (C-4), 38.9 (C-5), 37.9 (C-6), 26.9 (C-7), 44.3 (C-8), 37.9 (C-9), 54.4 (C-10), 36.3 (C-11), 35.5 (C-12), 71.1 (C-13), 42.6 (C-14), 26.6 (C-17), 11.6 (C-18), 31.7 (C-19), 13.9 (C-20)。以上数据与文献报道一致<sup>[12]</sup>, 故鉴定化合物 6 为 (5S\*,8S\*,9S\*,10R\*)-3,13S\*-dihydroxy-15,16-dinordolab-3-en-2-one, 俗名为 tagalsin P。

**化合物 7:** 淡黄色透明油状物。ESI-MS  $m/z$ : 355.10 [M+Na]<sup>+</sup>, 331.19 [M-H]<sup>-</sup>, 分子式为 C<sub>20</sub>H<sub>28</sub>O<sub>4</sub>。<sup>1</sup>H-NMR (400 MHz, MeOD)  $\delta$ : 6.15 (1H, brs, H-18a), 5.41 (1H, brs, H-18b), 6.11 (1H, d,  $J$ =6.8 Hz, H-1), 4.41 (2H, s, H-16), 2.23 (1H, dt,  $J$ =14.4, 3.0 Hz, H-6 $\alpha$ ), 2.10 (1H, d,  $J$ =6.8 Hz, H-10), 1.26 (3H, s, H-17), 1.11 (3H, s, H-19), 0.62 (3H, s, H-20), 1.77 (1H, ddd,  $J$ =14.4, 4.4, 2.7 Hz, H-12 $\alpha$ ), 1.56 (1H, m, H-6 $\beta$ ), 1.53 (1H, m, H-12 $\beta$ ), 1.46 (1H, m, H-11 $\alpha$ ), 1.42 (1H, m, H-8), 1.42 (1H, m, H-14 $\alpha$ ), 1.38 (1H, m, H-7 $\beta$ ), 1.32 (1H, m, H-11 $\beta$ ), 1.21 (1H, m, H-14 $\beta$ );

<sup>13</sup>C-NMR (100 MHz, MeOD)  $\delta$ : 119.4 (C-1), 151.5 (C-2), 186.4 (C-3), 149.8 (C-4), 42.1 (C-5), 37.4 (C-6), 26.5 (C-7), 41.2 (C-8), 41.6 (C-9), 56.3 (C-10), 36.6 (C-11), 28.8 (C-12), 47.1 (C-13), 35.5 (C-14), 216.3 (C-15), 64.7 (C-16), 20.7 (C-17), 118.7 (C-18), 34.3 (C-19), 12.5 (C-20)。以上数据与文献报道一致<sup>[12]</sup>, 故鉴定化合物 7 为 *ent*-5 $\alpha$ ,3,15-dioxodolab-1,4(18)-diene-2,16-diol。

**化合物 8:** 白色固体。ESI-MS  $m/z$ : 341.17 [M+Na]<sup>+</sup>, 317.28 [M-H]<sup>-</sup>, 分子式为 C<sub>19</sub>H<sub>26</sub>O<sub>4</sub>。<sup>1</sup>H-NMR (400 MHz, CDCl<sub>3</sub>)  $\delta$ : 6.25 (1H, brs, H-18a), 5.41 (1H, brs, H-18b), 6.17 (1H, d,  $J$ =6.7 Hz, H-1), 2.19 (1H, dt,  $J$ =14.3, 3.0 Hz, H-6 $\alpha$ ), 2.04 (1H, d,  $J$ =6.7 Hz, H-10), 1.30 (3H, s, H-17), 1.12 (3H, s, H-19), 0.63 (3H, s, H-20), 1.85 (1H, ddd,  $J$ =13.6, 4.3, 4.1 Hz, H-12 $\alpha$ ), 1.56 (1H, dt,  $J$ =13.2, 3.0 Hz, H-11 $\alpha$ ), 1.50 (1H, m, H-6 $\beta$ ), 1.47 (1H, m, H-14 $\alpha$ ), 1.44 (1H, m, H-8), 1.37 (1H, m, H-7 $\beta$ ), 1.32 (1H, m, H-11 $\beta$ ), 1.24 (1H, m, H-14 $\beta$ )。以上数据与文献报道一致<sup>[14]</sup>, 故鉴定化合物 8 为 *ent*-16-nor-3-oxodolab-1,4(18)-diene-2-ol-15-oic acid。

**化合物 9:** 白色固体。ESI-MS  $m/z$ : 329.07 [M+K]<sup>+</sup>, 619.14 [2M+K]<sup>+</sup>, 分子式为 C<sub>18</sub>H<sub>26</sub>O<sub>3</sub>。<sup>1</sup>H-NMR (400 MHz, CDCl<sub>3</sub>)  $\delta$ : 7.06 (1H, dd,  $J$ =10.3, 6.0 Hz, H-1), 6.29 (1H, d,  $J$ =10.3 Hz, H-2), 2.19 (1H, d,  $J$ =6.0 Hz, H-10), 3.03 (1H, d,  $J$ =6.3 Hz, H-18a), 3.05 (1H, d,  $J$ =6.3 Hz, H-18b), 1.30 (3H, s, H-17), 1.18 (3H, s, H-19), 0.82 (3H, s, H-20), 1.63 (1H, m, H-6 $\alpha$ ), 1.31 (1H, m, H-8), 1.64 (1H, m, H-12 $\beta$ ), 1.59 (1H, m, H-6 $\beta$ ), 1.64 (1H, m, H-12 $\alpha$ ), 1.69 (1H, m, H-11 $\alpha$ ), 1.47 (1H, m, H-14 $\alpha$ ), 1.34 (1H, m, H-7 $\alpha$ ), 1.25 (1H, m, H-7 $\beta$ ), 1.35 (1H, m, H-11 $\beta$ ), 1.43 (1H, m, H-14 $\beta$ ); <sup>13</sup>C-NMR (100 MHz, CDCl<sub>3</sub>)  $\delta$ : 150.6 (C-1), 130.5 (C-2), 195.2 (C-3), 61.5 (C-4), 38.9 (C-5), 35.7 (C-6), 27.4 (C-7), 43.2 (C-8), 36.9 (C-9), 58.1 (C-10), 37.2 (C-11), 32.0 (C-12), 71.0 (C-13), 43.1 (C-14), 26.8 (C-17), 55.3 (C-18), 29.3 (C-19), 13.4 (C-20)。以上数据与文献报道一致<sup>[15]</sup>, 故鉴定化合物 9 为 (5S\*,8S\*,9S\*,10R\*)-13S\*-hydroxy-4S\*,18-epoxy-15,16-dinordolab-1-en-3-one, 俗名为 tagalsin W。

**化合物 10:** 淡黄色透明油状物。ESI-MS  $m/z$ : 317.21 [M+H]<sup>+</sup>, 分子式为 C<sub>20</sub>H<sub>28</sub>O<sub>3</sub>。<sup>1</sup>H-NMR (400 MHz, CDCl<sub>3</sub>)  $\delta$ : 6.95 (1H, dd,  $J$ =10.3, 6.2 Hz, H-1),

6.29 (1H, d,  $J = 10.3$  Hz, H-2), 6.15 (1H, brs, H-18a), 5.32 (1H, brs, H-18b), 4.38 (2H, s, H-16), 2.04 (1H, d,  $J = 6.2$  Hz, H-10), 1.26 (3H, s, H-17), 1.10 (3H, s, H-19), 0.68 (3H, s, H-20), 1.76 (1H, ddd,  $J = 14.3, 4.3, 3.0$  Hz, H-12 $\alpha$ ), 1.50 (1H, m, H-8), 1.56 (1H, m, H-11 $\alpha$ ), 1.42 (1H, m, H-12 $\beta$ ), 1.45 (1H, m, H-6 $\beta$ ), 2.23 (1H, m, H-6 $\alpha$ ), 1.59 (1H, m, H-14 $\alpha$ ), 1.35 (1H, m, H-7 $\alpha$ ), 1.24 (1H, m, H-7 $\beta$ ), 1.43 (1H, m, H-11 $\beta$ ), 1.30 (1H, m, H-14 $\beta$ );  $^{13}\text{C}$ -NMR (100 MHz,  $\text{CDCl}_3$ )  $\delta$ : 149.4 (C-1), 130.8 (C-2), 188.9 (C-3), 149.9 (C-4), 40.7 (C-5), 36.3 (C-6), 25.3 (C-7), 40.6 (C-8), 39.9 (C-9), 57.3 (C-10), 34.6 (C-11), 27.8 (C-12), 45.7 (C-13), 35.5 (C-14), 215.1 (C-15), 64.0 (C-16), 20.6 (C-17), 117.7 (C-18), 33.6 (C-19), 12.2 (C-20)。以上数据与文献报道一致<sup>[15]</sup>, 故鉴定化合物 **10** 为 ( $5S^*, 8S^*, 9S^*, 10R^*, 13S^*$ )-16-hydroxydolab-1,4(18)-diene-3,15-dione, 俗名为 tagalsin V。

化合物 **11**: 白色固体。ESI-MS  $m/z$ : 273.26 [ $\text{M} - \text{H}]^-$ , 571.21 [ $2\text{M} + \text{Na}]^+$ , 分子式为  $\text{C}_{18}\text{H}_{26}\text{O}_2$ 。 $^1\text{H}$ -NMR (400 MHz,  $\text{CDCl}_3$ )  $\delta$ : 6.94 (1H, dd,  $J = 10.3, 6.2$  Hz, H-1), 6.24 (1H, d,  $J = 10.3$  Hz, H-2), 6.12 (1H, brs, H-18a), 5.31 (1H, brs, H-18b), 2.19 (1H, d,  $J = 14.1$  Hz, H-6 $\alpha$ ), 1.97 (1H, d,  $J = 6.2$  Hz, H-10), 1.28 (3H, s, H-17), 1.07 (3H, s, H-19), 0.68 (3H, s, H-20), 1.70 (1H, m, H-12 $\alpha$ ), 1.60 (1H, m, H-11 $\alpha$ ), 1.52 (1H, m, H-12 $\beta$ ), 1.58 (1H, m, H-6 $\beta$ ), 1.42 (1H, m, H-8), 1.44 (1H, m, H-7 $\alpha$ ), 1.23 (1H, m, H-7 $\beta$ ), 1.33 (1H, m, H-11 $\beta$ ), 1.40 (1H, m, H-14 $\beta$ )。以上数据与文献报道一致<sup>[12]</sup>, 故鉴定化合物 **11** 为 ( $5S^*, 8S^*, 9S^*, 10R^*, 13S^*$ )-hydroxy-15,16-dinordolab-1,4(18)-diene-3-one, 俗名为 tagalsin Q。

#### 参考文献

- [1] Wu J, Xiao Q, Xu J, et al. Natural products from true mangrove flora: source, chemistry and bioactivities [J]. *Nat Prod Rep*, 2008, 25(5): 955-981.
- [2] Wang H, Li M Y, Wu J. Chemical constituents and some biological activities of plants from the genus *Ceriops* [J]. *Chem Biodivers*, 2012, 9(1): 1-11.
- [3] Sheue C R, Liu H Y, Tsai C C, et al. Comparison of *Ceriops pseudodecanda* sp. nov. (Rhizophoraceae), a new mangrove species in Australasia, with related species [J]. *Bot Stud*, 2010, 51(2): 237-248.
- [4] Sheue C R, Yang Y P, Liu H Y, et al. Reevaluating the taxonomic status of *Ceriops australis* (Rhizophoraceae) based on morphological and molecular evidence [J]. *Bot Stud*, 2009, 50(1): 89-100.
- [5] Ballment E R, TJ III S, Stoddart J A. Sibling species in the mangrove genus *Ceriops* (Rhizophoraceae), detected using biochemical genetics [J]. *Aust Syst Bot*, 1988, 1(4): 391-397.
- [6] Sheue C R, Liu H Y, Tsai C C, et al. On the morphology and molecular basis of segregation of *Ceriops zippeliana* and *C. decandra* (Rhizophoraceae) from Asia [J]. *Blumea-Biodivers Evolut Biogeogr Plants*, 2009, 54(1/3): 220-227.
- [7] Rastogi R P, Mehrotra B N. *Compendium of Indian medicinal plants* [M]. Central Drug Research Institute, Lucknow, New Delhi, 1990.
- [8] Bunyapraphatsara N, Jutiviboonsuk A, Sornlek P, et al. Pharmacological studies of plants in the mangrove forest [J]. *Thai J Phytopharm*, 2003, 10(2): 1-12.
- [9] Yang Y, Zhang Y, Liu D, et al. Dolabrance-type diterpenes from the mangrove plant *Ceriops tagal* with antitumor activities [J]. *Fitoterapia*, 2015, 103(6): 277-282.
- [10] 林文翰, 陈英玉, 顾佳, 等. Tagalsin 及其同系物在制备抗肿瘤药物中的作用: 中国, CN101077345 [P]. 2006.
- [11] 王秀美, 姚如永, 孙蓓, 等. 角果木二萜 Tagalsin 的抗肿瘤作用 [J]. 山东医药, 2011, 51(1): 4-6.
- [12] Hu W M, Li M Y, Li J, et al. Dolabranes from the Chinese mangrove, *Ceriops tagal* [J]. *J Nat Prod*, 2010, 73(10): 1701-1705.
- [13] Kijjoa A, Polónia M A, Pinto M M M, et al. Dolabranes from *Endospermum diadenum* [J]. *Phytochemistry*, 1994, 37(1): 197-200.
- [14] Kijjoa A, Pinto M M M, Anantachoke C, et al. Dolabranes from *Endospermum diadenum* [J]. *Phytochemistry*, 1995, 40(1): 191-193.
- [15] Chen Y, Wang W, Wu J. Two new dolabranes from the Chinese mangrove *Ceriops tagal* [J]. *J Asian Nat Prod Res*, 2016, 18(1): 41-45.